

01

Экранирование магнитного импульса пленочным многослойным экраном с чередующимися магнитными и немагнитными слоями

© В.Т. Ерофеенко,¹ В.Ф. Бондаренко²

¹ Белорусский государственный университет, „Научно-исследовательский институт прикладных проблем математики и информатики“,

220030 Минск, Белоруссия

² Белорусская государственная академия связи,

220114 Минск, Белоруссия

e-mail: bsu_erofeenko@tut.by

(Поступило в Редакцию 25 мая 2016 г. В окончательной редакции 25 октября 2016 г.)

Аналитическими методами решена краевая задача проникновения импульса магнитного поля с миллисекундной и микросекундной длительностью фронта внутрь многослойного кругового цилиндрического экрана. Математическая модель задачи экранирования основана на использовании уравнения Лапласа и неклассических, двусторонних граничных условий, связывающих магнитные поля по обе стороны тонкостенного экрана. Численно исследована структура магнитного импульса внутри экрана и эффективность экранирования в зависимости от слоистости экрана при фиксированной толщине экрана.

DOI: 10.21883/JTF.2017.06.44503.1903

Введение

В настоящее время в современных технических системах используются электронные устройства, которые, как правило, чувствительны к воздействию магнитных полей. В связи с этим актуальной является проблема электромагнитной совместимости технических средств и проблема защиты приборов от воздействия электромагнитных излучений. Для решения таких проблем могут быть использованы тонкостенные экраны, оболочки и покрытия, которые снижают уровни магнитных полей в экранируемых областях [1–4]. Возникает задача выбора оптимальных параметров и специальных материалов [5,6] для экранов, которые обеспечивают высокую эффективность экранирования. Для решения этой задачи используют различные подходы: аналитическое моделирование, позволяющее получать точные аналитические решения задач экранирования [7,8], численные методы для проведения вычислительных экспериментов для сложных структур [4,9] и натурные эксперименты для типовых экранов [6,9]. Несомненный интерес представляют собой решения задач экранирования для многослойных экранов [10–12], так как слоистость экранов повышает их эффективность. Широкое применение получили методы моделирования экранов с использованием двусторонних и усредненных граничных условий, связывающих поля по обе стороны экрана [8,10–17]. В указанных работах исследуются цилиндрические, сферические и плоские экраны, которые подвергаются воздействию статических полей [5,10], низкочастотных [12,14,15], высокочастотных [3,11] и импульсных полей [9, 17]. Исследуется эффективность экранирования магнитных полей пленочным экраном с учетом нелинейных свойств материала пленки [18].

В настоящей работе разработана методика решения краевой задачи для многослойного экрана в потенциальном приближении. В соответствии с методикой нестационарная задача во временной области с помощью интегрального преобразования Фурье преобразуется к краевой задаче для спектральных потенциалов в низкочастотном диапазоне частот. Краевая задача для уравнения Лапласа решена аналитически с использованием двусторонних граничных условий на поверхности экрана, учитывающих материальную структуру экрана. С помощью обратного преобразования Фурье восстанавливается магнитный временной импульс внутри экрана.

Постановка краевой задачи экранирования

В свободном пространстве R^3 с электрической и магнитной постоянными $\epsilon_0 = 8.85419 \cdot 10^{-12}$ F/m, $\mu_0 = 4\pi \cdot 10^{-7}$ H/m расположен многослойный цилиндрический тонкостенный экран $D(R_1 < \rho < R_2, |z| < \infty, 0 \leq \varphi < 2\pi)$ толщины Δ , (ρ, φ, z) — цилиндрические координаты. Экран состоит из N -цилиндрических слоев $\Omega_s (\rho_s < \rho < \rho_{s+1})$ с магнитными проницаемостями $\mu_s = \mu_{rs}\mu_0$, диэлектрическими проницаемостями $\epsilon_s = \epsilon_{rs}\epsilon_0$ и удельными электрическими проводимостями γ_s , где $s = 1, \dots, N$, $\rho_1 = R_1$, $\rho_{N+1} = R_2$, $\Delta_s = \rho_{s+1} - \rho_s$ — толщина s -го слоя, $\Delta = \sum_{s=1}^N \Delta_s$ — толщина экрана.

Обозначим $\Gamma_1 (\rho = R_1)$ — внутренняя поверхность экрана, $\Gamma_2 (\rho = R_2)$ — внешняя поверхность экрана, $D_1 (0 \leq \rho < R_1)$ — внутренняя цилиндрическая область, $D_2 (\rho > R_2)$ — внешняя область. На экран D из области D_2 воздействует импульсное магнитное поле

$H_0 = -H_0(t)e_x$ с магнитным потенциалом

$$u_0 = H_0(t)\rho \cos \varphi, \quad H_0(t) = 0, \quad \text{при } t < 0. \quad (1)$$

Обозначим магнитные поля: H_1 — поле внутри экрана в области D_1 , H'_2 — отраженное поле в области D_2 , $H_2 = H_0 + H'_2$ — суммарное поле в области D_2 . Обозначим магнитные потенциалы, образующиеся в результате взаимодействия первичного магнитного поля H_0 с экраном D : $u_1 = v_1(t)\rho \cos \varphi$ — потенциал магнитного поля в D_1 , $u'_2 = v_2(t) \cos \varphi / \rho$ — потенциал отраженного от экрана магнитного поля в D_2 , $u_2 = u_0 + u'_2$ — суммарный потенциал в области D_2 . В результате

$$u_1(t) = v_1(t)\rho \cos \varphi, \quad u_2(t) = (H_0(t)\rho + v_2(t)/\rho) \cos \varphi. \quad (2)$$

Потенциалы в областях D_1 и D_2 удовлетворяют уравнению Лапласа $\Delta u_j = 0$, а магнитные поля определяются формулами

$$\begin{aligned} H_0 &= -\text{grad } u_0 = -H_0(t)e_x, \\ H_1 &= -\text{grad } u_1 = -v_1(t)e_x, \quad H_2 = -\text{grad } u_2. \end{aligned} \quad (3)$$

Электромагнитные поля $E^{(s)}$, $H^{(s)}$ в слоях Ω_s экрана D подчиняются уравнениям Максвелла

$$\begin{aligned} \text{rot } H^{(s)} &= \varepsilon_s \frac{\partial E^{(s)}}{\partial t} + \gamma_s E^{(s)}, \\ \text{rot } E^{(s)} &= -\mu_s \frac{\partial H^{(s)}}{\partial t} \end{aligned}$$

и граничным условиям непрерывности тангенциальных составляющих полей на поверхностях раздела сред между слоями. Для вычисления магнитного поля H_1 , проникающего внутрь экрана D , построим спектральные функции для потенциалов, применяя интегральное преобразование Фурье:

$$\begin{aligned} \hat{u}_0(\omega) &= \int_{-\infty}^{\infty} u_0(t) \exp(i\omega t) dt, \\ u_j(\omega) &= \int_{-\infty}^{\infty} u_j(t) \exp(i\omega t) dt, \end{aligned}$$

где $\omega = 2\pi f$, f — частота. Аналогично

$$\hat{v}_j(\omega) = \int_{-\infty}^{\infty} v_j(t) \exp(i\omega t) dt. \quad (4)$$

Имеет место обратное интегральное преобразование

$$v_j(t) = \frac{1}{2\pi} \int_{-\infty}^{\infty} \hat{v}_j(\omega) \exp(-i\omega t) d\omega. \quad (5)$$

Для первичного импульса (1)

$$\begin{aligned} \hat{H}_0(\omega) &= \int_{-\infty}^{\infty} H_0(t) \exp(i\omega t) dt, \\ h_0(f) &= |\hat{H}_0(\omega)| = |\hat{H}_0(2\pi f)|. \end{aligned} \quad (6)$$

Для импульса, прошедшего внутрь экрана, в соответствии с формулой (3) обозначим

$$H_1(t) = v_1(t), \quad h_1(f) = |\hat{v}_1(\omega)| = |\hat{v}_1(2\pi f)|. \quad (7)$$

Учитывая (2), получим

$$\begin{aligned} \hat{u}_1(\omega) &= \hat{v}_1(\omega)\rho \cos \varphi, \\ \hat{u}_2(\omega) &= (\hat{H}_0(\omega)\rho + \hat{v}_2(\omega)/\rho) \cos \varphi. \end{aligned} \quad (8)$$

Для вычисления спектральных функций сформулируем задачу проникновения магнитного поля $\hat{H}_0(\omega)$, колеблющегося с круговой частотой ω , через цилиндрический экран D . Задачу сформулируем, используя двусторонние граничные условия [8] в потенциальном приближении, связывающие потенциалы по обе стороны экрана.

Краевая задача. Для заданной спектральной функции $\hat{H}_0(\omega)$ требуется определить спектральные потенциалы $\hat{u}_1(\omega)$, $\hat{u}'_2(\omega)$, которые удовлетворяют уравнениям Лапласа

$$\Delta \hat{u}_1 = 0 \text{ в } D_1, \quad \Delta \hat{u}'_2 = 0 \text{ в } D_2, \quad (9)$$

двусторонним граничным условиям

$$\begin{aligned} Q_1 \frac{\partial \hat{u}_1}{\partial \rho} \Big|_{\rho=R_1} + Q_2 \frac{\partial \hat{u}_2}{\partial \rho} \Big|_{\rho=R_2} &= F(\hat{u}_1|_{\rho=R_1} - \hat{u}_2|_{\rho=R_2}), \\ \frac{\partial \hat{u}_1}{\partial \rho} \Big|_{\rho=R_1} - \frac{\partial \hat{u}_2}{\partial \rho} \Big|_{\rho=R_2} &= F(P_1 \hat{u}_1|_{\rho=R_1} + P_2 \hat{u}_2|_{\rho=R_2}), \end{aligned} \quad (10)$$

где

$$\begin{aligned} F(\hat{u}) &= (n, \text{rot}[n, \text{grad } \hat{u}]) = \frac{\partial^2 \hat{u}}{\partial z^2} + \frac{1}{\rho^2} \frac{\partial^2 \hat{u}}{\partial \varphi^2} = -\frac{1}{\rho^2} \hat{u}, \\ P_1 &= \frac{b_{22} - 1}{i\omega\mu_0 b_{21}}, \quad P_2 = \frac{b_{11} - 1}{i\omega\mu_0 b_{21}}, \\ Q_1 &= i\omega\mu_0 \frac{(b_{11} - 1)}{b_{12}}, \quad Q_2 = i\omega\mu_0 \frac{(b_{22} - 1)}{b_{12}}. \end{aligned} \quad (11)$$

Коэффициенты b_{js} вычислены в последующих разделах.

Решение краевой задачи

Двусторонние граничные условия моделируют процесс проникновения магнитного поля H_0 через экран D . Упростим условия (10), учитывая (11):

$$Q_1 \frac{\partial \hat{u}_1}{\partial \rho} \Big|_{\rho=R_1} + Q_2 \frac{\partial \hat{u}_2}{\partial \rho} \Big|_{\rho=R_2} = \frac{1}{R_2^2} \hat{u}_2 \Big|_{\rho=R_2} - \frac{1}{R_1^2} \hat{u}_1 \Big|_{\rho=R_1},$$

$$\left. \frac{\partial \hat{u}_1}{\partial \rho} \right|_{\rho=R_1} - \left. \frac{\partial \hat{u}_2}{\partial \rho} \right|_{\rho=R_2} = - \left(\frac{P_1}{R_1^2} \hat{u}_1 \Big|_{\rho=R_1} + \frac{P_2}{R_2^2} \hat{u}_2 \Big|_{\rho=R_2} \right). \quad (12)$$

Подставим потенциалы (8) в граничные условия (12). Получим систему уравнений

$$Q_1 \hat{v}_1 + Q_2 \left(\hat{H}_0 - \frac{\hat{v}_2}{R_2^2} \right) = \frac{1}{R_2^2} \left(\hat{H}_0 R_2 + \frac{\hat{v}_2}{R_2} \right) - \frac{1}{R_1} \hat{v}_1, \\ \hat{v}_1 - \left(\hat{H}_0 - \frac{\hat{v}_2}{R_2^2} \right) = - \frac{P_1}{R_1} \hat{v}_1 - \frac{P_2}{R_2^2} \left(\hat{H}_0 R_2 + \frac{\hat{v}_2}{R_2} \right). \quad (13)$$

Разрешим систему алгебраических уравнений (13) и определим \hat{v}_1, \hat{v}_2 :

$$\hat{v}_1(\omega) = \hat{H}_0(\omega) K_1(\omega), \quad \hat{v}_2(\omega) = \hat{H}_0(\omega) K_2(\omega), \quad (14)$$

где

$$K_1(\omega) = \frac{R_1 [(1 - R_2 Q_2(\omega))(R_2 + P_2(\omega)) + (1 + R_2 Q_2(\omega))(R_2 - P_2(\omega))]}{R_2 [(1 + R_1 Q_1(\omega))(R_2 + P_2(\omega)) + (1 + R_2 Q_2(\omega))(R_1 + P_1(\omega))]}, \\ K_2(\omega) = R_2^2 \frac{[(R_1 Q_1(\omega) + 1)(R_2 - P_2(\omega)) + (R_2 Q_2(\omega) - 1)(R_1 + P_1(\omega))]}{[(1 + R_1 Q_1(\omega))(R_2 + P_2(\omega)) + (1 + R_2 Q_2(\omega))(R_1 + P_1(\omega))]}.$$

Формулы (14) определяют функции при $\omega > 0$. Для отрицательных $\omega < 0$ имеем

$$\hat{v}_j(\omega) = \hat{v}_j^*(-\omega), \quad (15)$$

где * — комплексное сопряжение.

Вычислим временной импульс, прошедший внутрь экрана, применяя обратное преобразование (5) и учитывая (15):

$$v_1(t) = \frac{1}{2\pi} \int_{-\infty}^{\infty} \hat{v}_1(\omega) \exp(-i\omega t) d\omega \\ = \frac{1}{2\pi} \left(\int_0^{\infty} \hat{v}_1(\omega) \exp(-i\omega t) d\omega + \int_{-\infty}^0 \hat{v}_1(\omega') \times \exp(-i\omega' t) d\omega' [\omega' = -\omega] \right) \\ = \frac{1}{\pi} \left(\int_0^{\infty} \operatorname{Re}(\hat{v}_1(\omega)) \cos \omega t d\omega + \int_0^{\infty} \operatorname{Im}(\hat{v}_1(\omega)) \sin \omega t d\omega \right). \quad (16)$$

В результате вычислен импульс магнитного поля (3) внутри экрана:

$$\mathbf{H}_1(t) = -v_1(t) \mathbf{e}_x, \quad H_1(t) = |\mathbf{H}_1(t)| = v_1(t), \quad (17)$$

где $v_1(t)$ определяется формулой (16).

Моделирование граничных условий для многослойного экрана

Алгоритм вычисления коэффициентов (11), входящих в граничные условия (10), сводится к следующему. Рассмотрим передаточную матрицу для слоя Ω_s :

$$\hat{a}_s = \begin{pmatrix} \cos(k_s \Delta_s), & i Z_s \sin(k_s \Delta_s) \\ \frac{i}{Z_s} \sin(k_s \Delta_s), & \cos(k_s \Delta_s) \end{pmatrix}, \quad (18)$$

где

$$k_s = \omega \sqrt{\varepsilon_s^k \mu_s} = \frac{\omega}{c} \sqrt{\varepsilon_{rs}^k \mu_{rs}} = k_0 n_s, \\ 0 \leq \arg n_s < \pi, \quad k_0 = \frac{\omega}{c}, \quad n_s = \sqrt{\varepsilon_{rs}^k \mu_{rs}}, \\ \varepsilon_s^k = \varepsilon_{rs}^k \varepsilon_0, \quad \varepsilon_{rs}^k = \varepsilon_{rs} + i \frac{\gamma_s}{\omega \varepsilon_0}, \\ Z_s = \frac{\omega \mu_s}{k_s} = \frac{c \mu_0 \mu_{rs}}{n_s} = \frac{Z_0 \mu_{rs}}{n_s}, \quad Z_0 = \sqrt{\frac{\mu_0}{\varepsilon_0}},$$

где ε_s^k — комплексные диэлектрические проницаемости, c — скорость света в вакууме.

Матрица (18) используется для преобразования электромагнитных полей при прохождении через плоский слой Ω_s толщины Δ_s , в котором электромагнитное поле на частоте ω удовлетворяет уравнениям Максвелла для комплексных амплитуд

$$\operatorname{rot} H^{(s)} = -i\omega \varepsilon_s^k E^{(s)}, \quad \operatorname{rot} E^{(s)} = i\omega \mu_s H^{(s)},$$

где ε_s^k — комплексная диэлектрическая проницаемость. В локально-плоском приближении матрицы (18) будем использовать и для цилиндрических достаточно тонких слоев. Построим передаточную матрицу \hat{B} для многослойного экрана D , полагая

$$\hat{b} = \hat{a}_N \hat{a}_{N-1} \dots \hat{a}_2 \hat{a}_1 = \begin{pmatrix} b_{11} & b_{12} \\ b_{21} & b_{22} \end{pmatrix}.$$

Матричные элементы b_{js} подставляются в формулы (11) для определения коэффициентов Q_j, P_j .

Моделирование импульса первичного магнитного поля

Рассмотрим временной импульс $H_0 = H_0(t)$ (1), зависящий от размерного времени t и имеющий следующую структуру. На отрезке $0 \leq t < \tau_1$ функция $H_0(t)$ монотонно возрастает, $\tau_1 = \tau_{fr}$ — время фронта импульса, и достигает максимального значения $H_0(\tau_1) = H_{\max}$. На интервале $\tau_1 < t < \infty$ импульс экспоненциально затухает и $H_0(\tau_1 + T_{sem}) = H_{\max}/2$, T_{sem} — время полуспада импульса. На рис. 1, а изображен график импульса при конкретных значениях величин $\tau_{fr}, T_{sem}, H_{\max}$.

Обезразмерим импульс, вводя безразмерное время $\bar{t} = t/\tau_{fr}$. Получим

$$H_0(t) = H_0(\tau_{fr} \bar{t}) = H_{\max} \nu(\bar{t}). \quad (19)$$

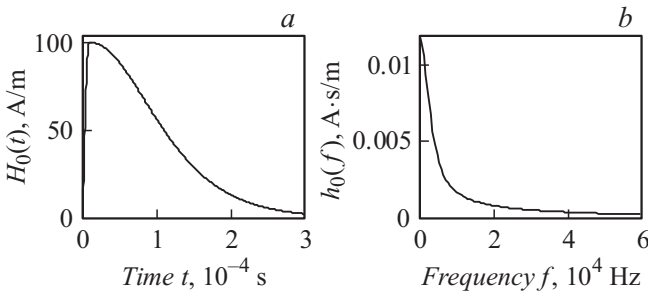


Рис. 1. Временной импульс (а) и спектральная функция (б) для внешнего магнитного поля: $\tau_{fr} = 10 \mu s$, $T_{sem} = 100 \mu s$.

Импульс будем аппроксимировать аналитическими формулами на двух интервалах $0 \leq \bar{t} < 1$, $1 \leq \bar{t} < \infty$ в виде

$$y(\bar{t}) = \begin{cases} \bar{t}^2 \exp(-2(\bar{t} - 1)), & 0 \leq \bar{t} < 1, \\ a_0((\bar{t} + C_0)^2 + C_1) \exp(-a_1(\bar{t} - 1)), & 1 \leq \bar{t} < \infty, \\ 0, & -\infty < \bar{t} < 0, \end{cases} \quad (20)$$

где

$$a_0 = \frac{z_0}{T_0^2}, \quad a_1 = \frac{z_0}{T_0}, \quad C_0 = \frac{T_0}{2} - 1,$$

$$C_1 = \left(\frac{1}{z_0} - \frac{1}{4}\right) T_0^2, \quad T_0 = \frac{T_{sem}}{\tau_{fr}}, \quad z_0 = 2.477317.$$

Вычислим спектральную функцию магнитного импульса (19), применяя преобразование Фурье (4) к функции (20).

$$\begin{aligned} \hat{H}_0(\omega) &= H_{max} \int_0^{\infty} y(\bar{t}) \exp(i\omega t) dt \\ &= [t = \tau_{fr} \bar{t}, \omega = w/\tau_{fr}] = \tau_{fr} H_{max} Y(w), \end{aligned} \quad (21)$$

где

$$Y(w) = \hat{y}_1(w) + \hat{y}_2(w),$$

$$\begin{aligned} \hat{y}_1(w) &= \int_0^1 y(\bar{t}) \exp(iw\bar{t}) d\bar{t} \\ &= \frac{1}{\alpha^3(w)} (2e^2 - (\alpha^2(w) + 2\alpha(w) + 2) \exp(iw)), \\ \alpha(w) &= 2 - iw, \quad e = \exp 1, \\ \hat{y}_2(w) &= \int_1^{\infty} y(\bar{t}) \exp(iw\bar{t}) d\bar{t} = \frac{1}{T_0^2 \beta^3(w)} [T_0^2 \beta^2(w) \\ &\quad + z_0(2 + T_0 \beta(w))] \exp(iw), \\ \beta(w) &= a_1 - iw. \end{aligned}$$

В результате

$$\hat{H}_0(\omega) = \tau_{fr} H_{max} (\hat{y}_1(\tau_{fr} \omega) + \hat{y}_2(\tau_{fr} \omega)). \quad (22)$$

Многослойный цилиндрический экран с чередующимися слоями

Рассмотрим многослойный экран $D = D_{st} \cup D_{sub}$, состоящий из m одинаковых пар слоев с чередующимися магнитными ($\mu_r \sim 10^3 - 10^4$) и немагнитными ($\mu_r = 1$) цилиндрическими слоями, расположенными на внутренней поверхности подложки $D_{sub} (R_2 - \Delta_N < \rho < R_2)$ (немагнитный цилиндрический слой толщины Δ_N). Обозначим: h_{sum} — суммарная толщина слоистой части экрана $D_{st} (R_1 < \rho < R_2 - \Delta_N)$.

Зададим материальные параметры слоев экрана.

Нечетные немагнитные слои: $\Delta_1 = \Delta_3 = \dots = \Delta_{2m-1} = h_{sum}/(m(1 + \alpha))$ — толщины немагнитных слоев, $\alpha = \Delta_2/\Delta_1$ — отношение толщины магнитного слоя к толщине немагнитного слоя;

$\mu_{r1} = \mu_{r3} = \dots = \mu_{r,2m-1} = \mu_I$ — относительные магнитные проницаемости немагнитных слоев, $\mu_I = 1$;

$\epsilon_{r1}^k = \epsilon_{r3}^k = \dots = \epsilon_{r,2m-1}^k = \epsilon_I + i\gamma_I/(\omega\epsilon_0)$ — относительные диэлектрические проницаемости немагнитных слоев, $\epsilon_I = 8$, γ_I — удельная электрическая проводимость слоев.

Четные магнитные слои:

$\Delta_2 = \Delta_4 = \dots = \Delta_{2m} = \alpha h_{sum}/(m(1 + \alpha))$ — толщины магнитных слоев;

$\mu_{r2} = \mu_{r4} = \dots = \mu_{r,2m} = \mu_{II}$ — относительные магнитные проницаемости магнитных слоев;

$\epsilon_{r2}^k = \epsilon_{r4}^k = \dots = \epsilon_{r,2m}^k = \epsilon_{II} + i\gamma_{II}/(\omega\epsilon_0)$ — относительные диэлектрические проницаемости магнитных слоев, $\epsilon_I = 8$.

Подложка:

$\Delta_N = \Delta_{sub}$, $\mu_{rN} = \mu_{sub} = 1$, $\epsilon_{rN}^k = \epsilon_{sub} + i\gamma_{sub}/(\omega\epsilon_0)$ — относительная диэлектрическая проницаемость подложки.

Вычислительный эксперимент

При воздействии на экран внешнего импульсного магнитного поля $|\mathbf{H}_0(t)| = H_0(t)$ (19) внутрь экрана проникает импульсное магнитное поле $H_1(t) = v_1(t)$ (17). Интегралы (16) запишем в безразмерных переменных w , \bar{t} , учитывая (14), (21), тогда

$$\begin{aligned} H_1(t) &= H_{max} \frac{1}{\pi} \left(\int_0^{\infty} \text{Re} (Y(w) K_1(w/\tau_{fr})) \cos(w\bar{t}) dw \right. \\ &\quad \left. + \int_0^{\infty} \text{Im} (Y(w) K_1(w/\tau_{fr})) \sin(w\bar{t}) dw \right) \Big|_{\bar{t}=t/\tau_{fr}}. \end{aligned} \quad (23)$$

Исследуем закономерности преобразования импульса $H_0(t)$ при прохождении через экран в зависимости от структуры многослойной пленки D_{st} , которая определяется параметрами $m = 1, 2, \dots, \alpha = [0, \infty)$.

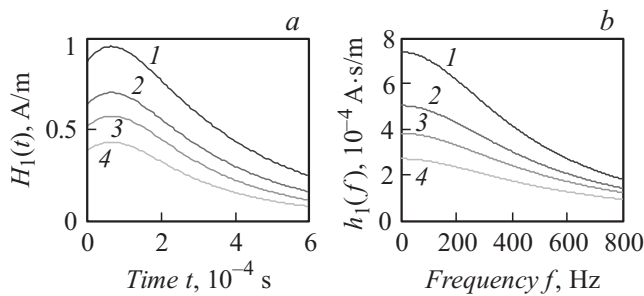


Рис. 2. Временной импульс (а) и спектральная функция (b) магнитного поля внутри трехслойного экрана, $m = 1$, α : 1 — 0.5, 2 — 1, 3 — 2, 4 — 20.

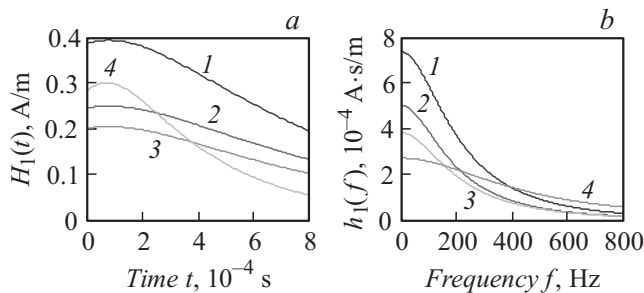


Рис. 3. Временной импульс (а) и спектральная функция (b) магнитного поля внутри девятислойного экрана, $m = 4$, α : 1 — 0.5, 2 — 1, 3 — 2, 4 — 20.

Рассмотрим случай, когда толщина экрана постоянная: $\Delta = 2 \cdot 10^{-4}$ м, $\Delta_{sem} = 10^{-4}$ м, $h_{sum} = 10^{-4}$ м. Радиус экрана $R_1 = 1.1 \cdot 10^{-2}$ м. Материальные параметры экрана:

$$\gamma_I = \gamma_{sub} = 3 \cdot 10^8 \text{ S/m}, \quad \gamma_{II} = 10^7 \text{ S/m},$$

$$\epsilon_I = \epsilon_{II} = \epsilon_{sub} = 8, \quad \mu_I = \mu_{sub} = 1, \quad \mu_{II} = 10^4.$$

Структуру импульса (19), (20) определим с помощью параметров

$$H_{max} = 10^2 \text{ A/m}, \quad \tau_{fr} = \beta_1 \cdot 10^{-n} \text{ s}, \quad T_{sem} = \beta_2 \cdot 10^{-n} \text{ s}.$$

Выберем $\beta_1 = 1$, $\beta_2 = 10$, $n = 5$ (рис. 1).

На рис. 1, b изображен график модуля функции (22) $h_0(f) = |\dot{H}_0(2\pi f)|$, позволяющий определить диапазон частот импульса.

Исследуем магнитный импульс (17), проникающий внутрь трехслойного экрана, состоящего из подложки и пары слоев ($m = 1$).

На рис. 2, a показано изменение импульса (23) внутри экрана в зависимости от увеличения доли магнитного материала в экране. При увеличении параметра α эффективность экранирования

$$E_f = \max_{0 \leq t < \infty} H_0(t) / \max_{0 \leq t < \infty} H_1(t) \quad (24)$$

увеличивается. На рис. 2, b представлены графики модуля спектральной функции (14) $h_1(f) = |\dot{v}_1(2\pi f)|$.

Для исследования влияния слоистости экрана на эффективность экранирования рассмотрим девятислойный экран, состоящий из подложки и четырех пар слоев ($m = 4$), при воздействии импульса, изображенного на рис. 1, a.

С помощью формулы (24) вычисляется эффективность экранирования четырех экранов, соответствующих четырем графикам рис. 3, a:

$$E_{f_1} = 253.7, \quad E_{f_2} = 401.2, \quad E_{f_3} = 488.6, \quad E_{f_4} = 332.3.$$

Отсюда следует, что экран, который практически полностью состоит из магнитного материала ($\alpha = 20$), имеет меньшую эффективность, чем слоистые экраны с $\alpha = 1$ и $\alpha = 2$. Это говорит о том, что может быть вычислено оптимальное значение параметра α . Для внешнего импульса с $n = 2$ ($\tau_{fr} = 10^{-2}$ s) эффективность аналогичных экранов уменьшается:

$$E_{f_1} = 16.2, \quad E_{f_2} = 23.8, \quad E_{f_3} = 31.3, \quad E_{f_4} = 44.3.$$

Сравнение графиков на рис. 2, b и 3, b показывает, что диапазон частот импульса внутри экрана сужается при увеличении слоистости экрана.

Заключение

Разработанная математическая модель экранирования импульса магнитного поля, падающего ортогонально к цилиндрическому многослойному экрану, реализована численно. Проведен вычислительный эксперимент и исследована эффективность экранирования в зависимости от слоистости и структуры экрана при фиксированной толщине. Рассмотрены импульсы миллисекундного и микросекундного диапазонов. Показано, что увеличение слоистости экрана ($m = 1, 2, \dots$ — слоистость экрана) приводит к возрастанию эффективности экранирования. Для экранов с количеством слоев больше семи ($m > 3$) увеличение эффективности замедляется. Для семислойного и девятислойного экранов графики импульсов внутри экрана практически совпадают. Отметим, что увеличение толщины магнитного слоя в сравнении с толщиной немагнитного слоя приводит к росту эффективности экранирования до определенного предела и далее эффективность убывает в зависимости от слоистости.

Список литературы

- [1] Шапиро Д.Н. Электромагнитное экранирование. Долгосрочный: Изд. Дом Интеллект, 2010. 120 с.
- [2] Лыньков Л.М., Богуш В.А., Глыбин В.П. и др. Гибкие конструкции экранов электромагнитного излучения. Минск: БГУИР, 2000. 284 с.
- [3] Ринкевич А.Б., Перов Д.В., Васьковский В.О., Лепаловский В.Н. // ЖТФ. 2009. Т. 79. Вып. 2. С. 96–106.
- [4] Резинкина М.М. // ЖТФ. 2007. Т. 77. Вып. 11. С. 17–24.

- [5] *Аполлонский С.М., Острейко В.Н.* // *Электротехника*. 1994. № 11. С. 51–53.
- [6] *Грабчиков С.С., Труханов А.В., Солобай А.А., Ерофеевко В.Т., Василенков Н.А.* // *Известия НАН Беларуси. Сер. физ.-техн. наук*. 2015. № 4. С. 107–114.
- [7] *Аполлонский А.С., Ерофеевко В.Т.* *Электромагнитные поля в экранирующих оболочках*. Минск: Университетское, 1988. 247 с.
- [8] *Ерофеевко В.Т., Козловская И.С.* *Аналитическое моделирование в электродинамике*. М.: КД Либроком, 2014. 304 с.
- [9] *Садовничий Д.Н., Марков М.Б., Воронцов А.С., Милехин Ю.М.* // *ЖТФ*. 2012. Т. 82. Вып. 9. С. 55–62.
- [10] *Ерофеевко В.Т., Шушкевич Г.Ч., Грабчиков С.С., Бондаренко В.Ф.* // *Информатика*. 2012. № 3(35). С. 80–93.
- [11] *Ерофеевко В.Т., Глушцов А.И.* // *Инженерно-физический журнал*. 2009. Т. 82. № 4. С. 794–802.
- [12] *Ерофеевко В.Т., Шушкевич Г.Ч.* // *ЖТФ*. 2013. Т. 83. Вып. 6. С. 93–97.
- [13] *Аполлонский С.М., Ерофеевко В.Т.* *Эквивалентные граничные условия в электродинамике*. СПб.: Безопасность, 1998. 416 с.
- [14] *Ерофеевко В.Т., Шушкевич Г.Ч.* // *Электричество*. 2011. № 6. С. 57–61.
- [15] *Ерофеевко В.Т., Козловская И.С., Шушкевич Г.Ч.* // *ЖТФ*. 2010. Т. 80. Вып. 9. С. 8–15.
- [16] *Ерофеевко В.Т., Кравченко В.Ф., Лю Бао Линь* // *Радиотехника*. 1996. № 3. С. 57–65.
- [17] *Ерофеевко В.Т., Бондаренко В.Ф.* // *Электроника ИНФО*. 2013. № 6. С. 176–180.
- [18] *Громыко Г.Ф., Грабчиков С.С., Ерофеевко В.Т., Заяц Г.М.* // *Физические основы приборостроения*. 2015. Т. 4. № 4. С. 30–39.